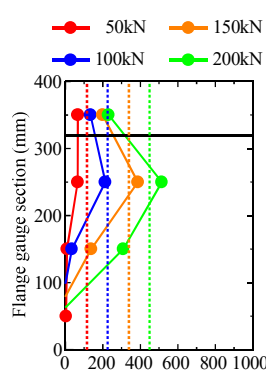
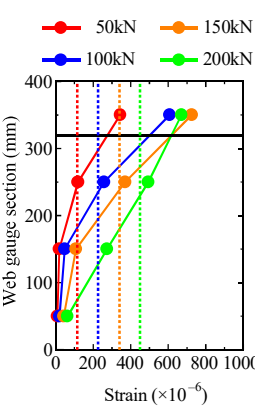


図-2 ひずみ計測位置

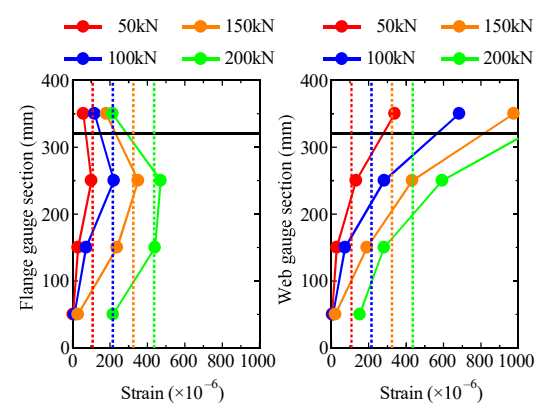


(a) フランジひずみ分布

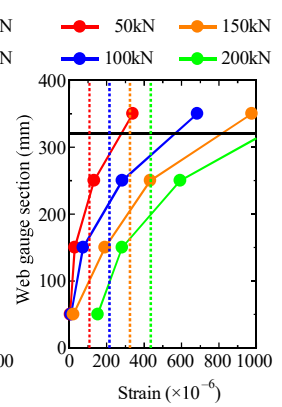


(b) ウエブひずみ分布

図-3 高さ方向ひずみ分布 (Case1)



(a) フランジひずみ分布



(b) ウエブひずみ分布

図-4 高さ方向ひずみ分布 (Case2)

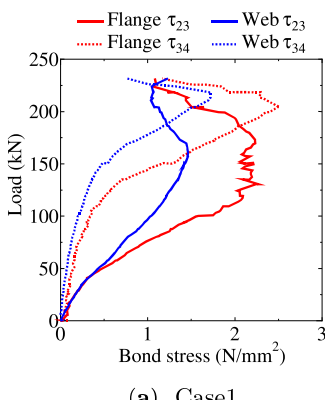


図-5 荷重-付着応力関係

3. 試験結果

(1) 高さ方向ひずみ分布

図-3、図-4に、2つの試験体における形鋼の高さ方向ひずみ分布を示す。ここで、横軸は形鋼の軸ひずみを示し、縦軸はコンクリートブロック下縁からの距離(=y)を示している。yはそれぞれ350mm, 250mm, 150mm, 50mmであり、図-2中にそれぞれの高さを(1)～(4)として示している。それぞれの高さのひずみは平均値を用いており、荷重ごとに色分けして結果を表示している。各色の縦線は各荷重を形鋼の断面積で除すことによる形鋼ひずみの平均値を、黒の実線はコンクリート上縁の位置を示している。

Case1およびCase2ともに、コンクリート部内においてフランジおよびウェブのひずみ分布では、コンクリート上縁からコンクリート下縁に向かって軸ひずみの大きさが小さくなっている。これは、コンクリートと形鋼との間に働く付着抵抗によるものである。しかし、図-4(a)に示すCase2の200kN時において、(2)と(3)の間の区間23でのフランジひずみにほとんど差がないが、これは区間23でコンクリートと形鋼との間に作用する付着が切れたと考えられる。

(2) 付着応力

図-3、図-4のひずみ分布より、ある高さ方向の区間における形鋼とコンクリート間の付着力 f_b を、軸ひずみを用いて式(1)より算定した。

$$f_b = (\varepsilon_m - \varepsilon_n) \times E_s \times A_s \quad (1)$$

ここで、 ε_m および ε_n は対象区間にける上端および下端の鉛直方向軸ひずみ、 E_s は形鋼の弾性係数、 A_s は形鋼の断

面積を示している。付着力はフランジとウェブでそれぞれ算定し、対象区間におけるフランジおよびウェブとコンクリートとの接触面積で除することで付着応力 τ を求めた。荷重-付着応力関係を図-5に示す。横軸は付着応力を、縦軸は荷重を示し、 τ の添え字は付着応力を算定した区間を表しており、図-2の高さ(1)～(4)に対応している。

両試験体とも、荷重100kN程度までは区間23、区間34とともに荷重の増加とともに付着応力が大きくなる傾向があり、区間23の方が区間34よりも付着応力は大きい。荷重が100kN程度以降から、荷重とともに区間23での付着応力が減少し、区間34での付着応力が増加し始める。このことから、荷重が100kN程度までは区間23の付着で主に抵抗していたが、区間23での付着が切れることで100kN程度以降から区間34の付着で抵抗し始めていることを示している。また、フランジとウェブの付着応力を比較すると、フランジの付着応力の方が大きい傾向にある。付着応力は、式(1)により算定した付着力に対して対象区間の形鋼とコンクリートとの接触面積で除しているが、ウェブに引張力が作用することでポアソン効果によってフランジ間のコンクリートが圧縮され、フランジとコンクリート間の付着応力が大きくなったと考えられる。また、区間23におけるウェブの付着応力は、フランジの付着応力の低下と比較してそれほど低下していない。これは、頭付きスタッドが形鋼のいずれに対して抵抗したためであると考えられる。

4. まとめ

本研究では、ウェブにスタッドを溶植したI形鋼の引張特性を把握するために、引抜き試験を実施した。以下に、本研究における知見を示す。

1. 形鋼の軸ひずみは、コンクリート上縁から下縁に向かって小さくなっている。形鋼とコンクリート間の付着抵抗によるものである。
2. コンクリートと形鋼の間の付着応力はウェブに比べてフランジの方が大きく、フランジ間のコンクリートが圧縮されることによるポアソン効果の影響であると考えられる。

参考文献

- 1) 藤倉修一、柳谷一輝、宇野州彦、篠田佳男:I形鋼を用いた新たな複合構造の曲げ耐荷性能に関する実験的研究、コンクリート工学年次論文集、Vol.43、No.2、pp.943-948、2021.7.
- 2) 宇野州彦、池野勝哉、藤倉修一、篠田佳男:I形鋼のウェブにスタッド配置した複合構造のコンクリート付着特性、コンクリート工学年次論文集、Vol.43、No.2、pp.937-942、2021.7.